

# Mécanique linéaire de la rupture

## Taux de restitution d'énergie



École des Ponts

Daniel Weisz-Patrault

Master AMMS

4 Mars 2020

# Objectifs généraux

- Culture générale
- Concepts fondamentaux pour les matériaux fissurés
- Méthodes de calcul
- Prédiction de la résistance résiduelle
- Durée de vie

# Objectifs de la séance

- Hypothèses fondamentales de la mécanique linéaire de la rupture
- Notion de taux de relaxation d'énergie
- Critère énergétique de propagation de fissure
- Notion de facteur d'intensité de contrainte
- Pourquoi on peut se ramener à un problème linéaire
- Notion de propagation en fatigue
- Pratiquer sur un exemple

# Plan de le séance

- 1 Hypothèses de la mécanique linéaire de la rupture
- 2 Facteurs d'intensité de contrainte
- 3 Rupture sous chargement monotone (ténacité)
- 4 Rupture sous chargement cyclique (loi de Paris)

# Plan de le séance

- 1 Hypothèses de la mécanique linéaire de la rupture
- 2 Facteurs d'intensité de contrainte
- 3 Rupture sous chargement monotone (ténacité)
- 4 Rupture sous chargement cyclique (loi de Paris)

# Hypothèses de la mécanique linéaire de la rupture

- **Rappels et intégrale invariante de contour**
- Hypothèse 1/3
- Dissipation globale lors de l'avancée d'une fissure
- Hypothèse 2/3
- Hypothèse 3/3
- Modélisation en mécanique linéaire de la rupture

# Rappels et intégrale invariante de contour

- Puissance dissipée en tête de fissure

$$D^{fiss} = \lim_{\epsilon \rightarrow 0} \underbrace{\left[ \int_{\partial B_\epsilon} \underline{N} \cdot \left[ -{}^t \underline{\underline{B}} \cdot \underline{\underline{F}} + \rho_0 \left( \Psi + \frac{\underline{v} \cdot \underline{v}}{2} \right) \right] dS_0 \right]}_{\underline{g}(t)} \cdot \underline{V}_0(t)$$

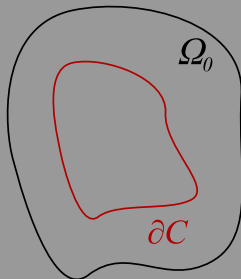
- Finalement on écrit

$$D^{fiss} = \underline{g}(t) \cdot \underline{V}_0(t)$$

# Rappels et intégrale invariante de contour

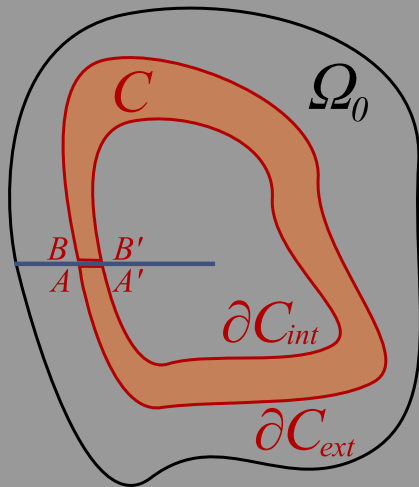
- Hypothèses
  - Hyperélasticité
  - Quasi-statique
  - Lèvres de la fissure libres de contraintes
  - Vitesse  $\underline{V}_0(t)$  colinéaire à  $\underline{e}_1$
- Pour tout contour **fermé**  $\partial C$

$$\underline{g}(t) \cdot \underline{e}_1 = \left[ \int_{\partial C} \underline{N} \cdot [\rho_0 \Psi - {}^t \underline{\underline{B}} \cdot \underline{\underline{F}}] dS_0 \right] \cdot \underline{e}_1 = 0$$





# Rappels et intégrale invariante de contour



# Rappels et intégrale invariante de contour

- Dans une structure fissurée : **intégrale indépendante du contour dans la zone élastique**

$$\begin{aligned} \mathcal{J} &= \left[ \int_{\partial C_{int}} \underline{N} \cdot [\rho_0 \Psi - {}^t \underline{B} \cdot \underline{F}] \, dS_0 \right] \cdot \underline{e}_1 \\ &= \left[ \int_{\partial C_{ext}} \underline{N} \cdot [\rho_0 \Psi - {}^t \underline{B} \cdot \underline{F}] \, dS_0 \right] \cdot \underline{e}_1 \end{aligned}$$

- Si tout reste élastique on peut retirer la limite

$$\underline{g} \cdot \underline{e}_1 = \left[ \int_{\partial B} \underline{N} \cdot \left[ - {}^t \underline{B} \cdot \underline{F} + \rho_0 \left( \Psi + \frac{v \cdot v}{2} \right) \right] \, dS_0 \right] \cdot \underline{e}_1$$

# Rappels et intégrale invariante de contour

- En général le matériau **ne reste pas élastique**
- Augmentation des contraintes près de la tête de fissure
  - Plasticité
  - Endommagement
- Dissipations induites par la fissuration
- Mais non comptabilisées dans  $D^{fiss}$

# Rappels et intégrale invariante de contour

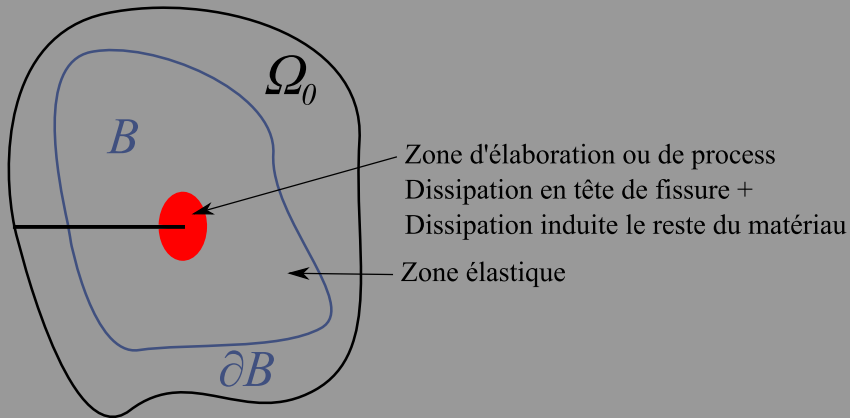
- Recherche d'un critère pour l'ingénieur
- Compromis entre :
  - Energie gagnée en fissurant
  - Coût de dissipation
- Il faut compter le **prix total de dissipation pour fissurer** et non juste la dissipation en tête de fissure

# Hypothèses de la mécanique linéaire de la rupture

- Rappels et intégrale invariante de contour
- **Hypothèse 1/3**
- Dissipation globale lors de l'avancée d'une fissure
- Hypothèse 2/3
- Hypothèse 3/3
- Modélisation en mécanique linéaire de la rupture

# Hypothèse 1/3

Il existe une zone d'élaboration **confinée**



# Hypothèses de la mécanique linéaire de la rupture

- Rappels et intégrale invariante de contour
- Hypothèse 1/3
- **Dissipation globale lors de l'avancée d'une fissure**
- Hypothèse 2/3
- Hypothèse 3/3
- Modélisation en mécanique linéaire de la rupture

# Dissipation globale lors de l'avancée d'une fissure

- Hypothèses
  - Petites transformations
  - Quasi-statique (succession d'états d'équilibre)
  - Localement isotherme
- Transformation et déplacement

$$\underline{\Phi} = \underline{X} + \underline{u}$$

- Gradient de la transformation

$$\underline{F} = \underline{I} + \underline{\nabla}[\underline{u}]$$

- Equilibre, énergie cinétique et résultante négligées

$$\underline{v} \cdot \underline{v} \quad \text{et} \quad \int_{\partial B} \underline{\underline{\sigma}} \cdot \underline{n} dS$$



# Dissipation globale lors de l'avancée d'une fissure

- Equation des bilans, puissance dissipée **volumique**

$$D = \underline{\underline{\sigma}} : \underline{\underline{\nabla v}} - \rho \left( \dot{\Psi} + \dot{\mathcal{F}}_s \right) - \frac{\dot{q} \cdot \underline{\underline{\nabla T}}}{T}$$

- Puissance dissipée dans  $B$  hors dissipation en tête de fissure

$$D = \lim_{\epsilon \rightarrow 0} \int_{B-B_\epsilon} \left( \underline{\underline{\sigma}} : \underline{\underline{\nabla v}} - \rho \left( \dot{\Psi} + \dot{\mathcal{F}}_s \right) - \frac{\dot{q} \cdot \underline{\underline{\nabla T}}}{T} \right) d\Omega$$

- Puissance dissipée en tête de fissure

$$D^{fiss} = \lim_{\epsilon \rightarrow 0} \left[ \int_{\partial B_\epsilon} \underline{\underline{n}} \cdot \left[ -\underline{\underline{\sigma}} \cdot \left( \underline{\underline{\mathcal{V}}} + \underline{\underline{\nabla u}} \right) + \rho \left( \Psi + \frac{\underline{\underline{\mathcal{V}} \cdot \underline{\underline{\mathcal{V}}}}{2} \right) \right] dS \right] \cdot \underline{\underline{v}}$$

- Intégrale indépendante de contour

$$\mathcal{J} = \left[ \int_{\partial B} \underline{\underline{n}} \cdot \left[ \rho \Psi - \underline{\underline{\sigma}} \cdot \left( \underline{\underline{\mathcal{V}}} + \underline{\underline{\nabla u}} \right) \right] dS \right] \cdot \underline{\underline{e}}_1$$

# Dissipation globale lors de l'avancée d'une fissure

- Puissance dissipée dans  $B$  hors dissipation en tête de fissure

$$\mathcal{D} = \lim_{\epsilon \rightarrow 0} \int_{B-B_\epsilon} \left( \underline{\underline{\sigma}} : \underline{\underline{\nabla}}v - \rho \dot{\Psi} \right) d\Omega$$

- Puissance dissipée en tête de fissure

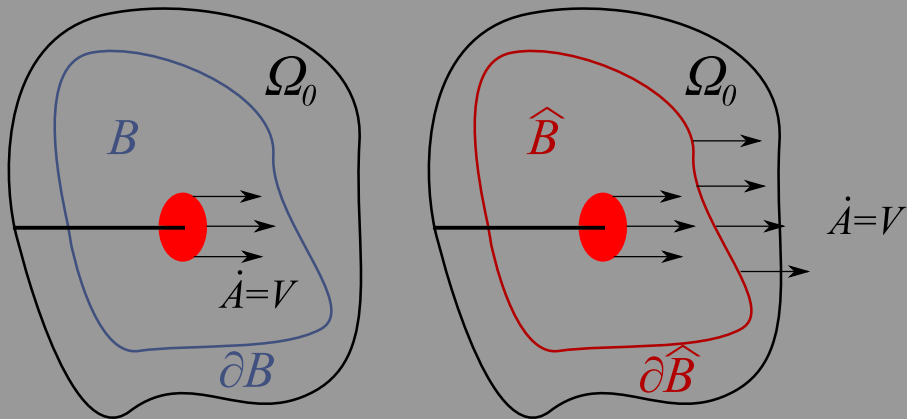
$$D^{fiss} = \lim_{\epsilon \rightarrow 0} \left[ \int_{\partial B_\epsilon} \underline{\underline{n}} \cdot \left[ -\underline{\underline{\sigma}} \cdot \underline{\underline{\nabla}}u + \rho \Psi \right] dS \right] \cdot \underline{\underline{V}}(t)$$

- Intégrale indépendante du contour dans la zone élastique

$$\mathcal{J} = \int_{\partial B} \left[ n_1 \rho \Psi - \underline{\underline{n}} \cdot \underline{\underline{\sigma}} \cdot \frac{\partial \underline{\underline{u}}}{\partial X_1} \right] dS$$

# Dissipation globale lors de l'avancée d'une fissure

- Domaine **fixe** et domaine **mobile**



# Dissipation globale lors de l'avancée d'une fissure

- Calcul

$$\operatorname{div} [\underline{\underline{\sigma}} \cdot \underline{\underline{v}}] = \frac{\partial (\sigma_{ij} v_j)}{\partial x_i} = \frac{\partial \sigma_{ij}}{\partial x_i} v_j + \sigma_{ij} \frac{\partial v_j}{\partial x_i} = \underbrace{\operatorname{div} [\underline{\underline{\sigma}}]}_{0 \text{ (équilibre)}} \cdot \underline{\underline{v}} + \underline{\underline{\sigma}} : \underline{\underline{\nabla v}}$$

- Puissance dissipée dans  $B^\epsilon = B - B_\epsilon$  fixe

$$\begin{aligned} \mathcal{D}^\epsilon &= \int_{B^\epsilon} \left( \underline{\underline{\sigma}} : \underline{\underline{\nabla v}} - \rho \dot{\Psi} \right) d\Omega \\ &= -\frac{d}{dt} \left[ \int_{B^\epsilon} \rho \Psi d\Omega \right] + \int_{B^\epsilon} \operatorname{div} [\underline{\underline{\sigma}} \cdot \underline{\underline{v}}] d\Omega \\ &= -\frac{d}{dt} \left[ \int_{B^\epsilon} \rho \Psi d\Omega \right] + \int_{\partial B^\epsilon} \underline{\underline{\sigma}} \cdot \underline{\underline{n}} \cdot \underline{\underline{v}} dS \end{aligned}$$

# Dissipation globale lors de l'avancée d'une fissure

- On suppose qu'on est en régime permanent dans  $\hat{B}$ , car assez proche de la fissure

$$\tilde{\Psi}(\underline{X}, t) = \tilde{\Psi}(\underline{X} - \underline{F}(t))$$

$$\dot{\tilde{\Psi}}(\underline{X}, t) = -\dot{A} \underline{\nabla} \tilde{\Psi} \cdot \underline{e}_1$$

- Dans  $\hat{B}^\epsilon = \hat{B} - \hat{B}_\epsilon$  **mobile**

$$\begin{aligned} \frac{d}{dt} \left[ \int_{\hat{B}^\epsilon} \rho \Psi d\Omega \right] &= \int_{\hat{B}^\epsilon} \rho \dot{\Psi} d\Omega + \int_{\partial \hat{B}^\epsilon} \rho \Psi \dot{A} \underline{n} \cdot \underline{e}_1 dS \\ &= \int_{\hat{B}^\epsilon} \left( \rho \dot{\Psi} + \text{div} \left[ \rho \Psi \dot{A} \underline{e}_1 \right] \right) d\Omega \\ &= \int_{\hat{B}^\epsilon} \underbrace{\left( \rho \dot{\Psi} + \dot{A} \underline{\nabla} [\rho \Psi] \cdot \underline{e}_1 \right)}_0 d\Omega \end{aligned}$$

# Dissipation globale lors de l'avancée d'une fissure

- On a

$$\int_{\widehat{B}^\epsilon} \rho \dot{\Psi} d\Omega + \int_{\partial \widehat{B}^\epsilon} \rho \Psi \dot{A} n_1 dS = 0$$

- $B^\epsilon$  et  $\widehat{B}^\epsilon$  coïncident à l'instant  $t$

$$\frac{d}{dt} \left[ \int_{B^\epsilon} \rho \Psi d\Omega \right] = \int_{\widehat{B}^\epsilon} \rho \dot{\Psi} d\Omega$$

- D'où en régime permanent

$$\boxed{-\frac{d}{dt} \left[ \int_{B^\epsilon} \rho \Psi d\Omega \right] = \int_{\partial \widehat{B}^\epsilon} \rho \Psi \dot{A} n_1 dS}$$

# Dissipation globale lors de l'avancée d'une fissure

- En régime permanent

$$\underline{u}(X_1, X_2, t) = \underline{u}(X_1 - A(t), X_2)$$

- D'où

$$\underline{v}(\underline{X}, t) = -\dot{A} \frac{\partial \underline{u}}{\partial X_1}(\underline{X}, t)$$

- On a donc

$$\int_{\partial B^\epsilon} \underline{\underline{\sigma}} \cdot \underline{\underline{n}} \cdot \underline{v} dS = - \int_{\partial B^\epsilon} \underline{\underline{\sigma}} \cdot \underline{\underline{n}} \cdot \frac{\partial \underline{u}}{\partial X_1} \dot{A} dS$$

# Dissipation globale lors de l'avancée d'une fissure

- Puissance dissipée dans  $B^\epsilon = B - B_\epsilon$  fixe

$$\mathcal{D}^\epsilon = -\frac{d}{dt} \left[ \int_{B^\epsilon} \rho \Psi d\Omega \right] + \int_{\partial B^\epsilon} \underline{\underline{\sigma}} \cdot \underline{\underline{n}} \cdot \underline{\underline{v}} dS$$

- Par ailleurs

$$-\frac{d}{dt} \left[ \int_{B^\epsilon} \rho \Psi d\Omega \right] = \int_{\partial \hat{B}^\epsilon} \rho \Psi \dot{A} n_1 dS$$

- Et

$$\int_{\partial B^\epsilon} \underline{\underline{\sigma}} \cdot \underline{\underline{n}} \cdot \underline{\underline{v}} dS = - \int_{\partial B^\epsilon} \underline{\underline{\sigma}} \cdot \underline{\underline{n}} \cdot \frac{\partial \underline{u}}{\partial X_1} \dot{A} dS$$

- D'où puisque  $\partial \hat{B}^\epsilon$  et  $\partial B^\epsilon$  coïncident à l'instant  $t$

$$\mathcal{D}^\epsilon = \int_{\partial \hat{B}^\epsilon} \left( \rho \Psi n_1 - \underline{\underline{\sigma}} \cdot \underline{\underline{n}} \cdot \frac{\partial \underline{u}}{\partial X_1} \right) \dot{A} dS$$



# Dissipation globale lors de l'avancée d'une fissure

- Puissance dissipée dans  $B$  hors dissipation en tête de fissure

$$\mathcal{D} = \lim_{\epsilon \rightarrow 0} \int_{B-B_\epsilon} \left( \underline{\underline{\sigma}} : \underline{\underline{\nabla}}v - \rho \dot{\Psi} \right) d\Omega$$

- On a obtenu

$$\mathcal{D} = \lim_{\epsilon \rightarrow 0} \mathcal{D}^\epsilon = \lim_{\epsilon \rightarrow 0} \int_{\partial B - \partial B_\epsilon} \left( \rho \Psi n_1 - \underline{\underline{\sigma}} \cdot \underline{\underline{n}} \cdot \frac{\partial \underline{u}}{\partial X_1} \right) \dot{A}dS$$

- Puissance dissipée en tête de fissure

$$D^{fiss} = \lim_{\epsilon \rightarrow 0} \left[ \int_{\partial B_\epsilon} \underline{\underline{n}} \cdot \left[ -\underline{\underline{\sigma}} \cdot \underline{\underline{\nabla}}u + \rho \Psi \right] dS \right] \cdot \underline{V}(t)$$

- D'où

$$D^{fiss} = \lim_{\epsilon \rightarrow 0} \int_{\partial B_\epsilon} \left[ \rho \Psi n_1 - \underline{\underline{\sigma}} \cdot \underline{\underline{n}} \cdot \frac{\partial \underline{u}}{\partial X_1} \right] \dot{A}dS$$

# Dissipation globale lors de l'avancée d'une fissure

- Puissance dissipée totale dans le domaine  $B$

$$D^B = \mathcal{D} + D^{fiss} = \underbrace{\int_{\partial B} \left( \rho \Psi n_1 - \underline{\underline{\sigma}} \cdot \underline{\underline{n}} \cdot \frac{\partial \underline{u}}{\partial X_1} \right) dS}_{G} \dot{A}$$

- Taux de relaxation d'énergie :  $G$

$$\boxed{D^B = G \dot{A}}$$

- **Intégrale indépendante du contour** dans la zone élastique

$$\mathcal{J} = \int_{\partial B} \left[ n_1 \rho \Psi - \underline{\underline{n}} \cdot \underline{\underline{\sigma}} \cdot \frac{\partial \underline{u}}{\partial X_1} \right] dS = G$$

- Attention  $G \neq g$
- $G$  : concept d'ingénieur,  $g$  : concept de physicien

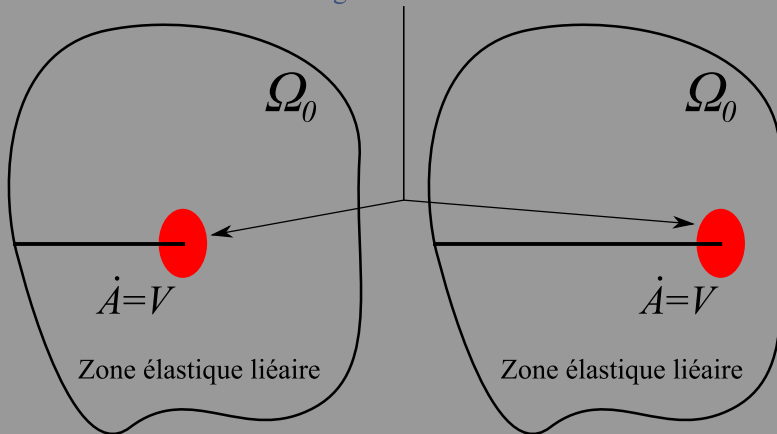
# Hypothèses de la mécanique linéaire de la rupture

- Rappels et intégrale invariante de contour
- Hypothèse 1/3
- Dissipation globale lors de l'avancée d'une fissure
- **Hypothèse 2/3**
- Hypothèse 3/3
- Modélisation en mécanique linéaire de la rupture

# Hypothèse 2/3

Un régime permanent s'établit **rapidement**

Pas de modifications significatives de la zone d'élaboration



# Hypothèse 2/3

## Conséquence importante

- La puissance dissipée est **constante**
- L'énergie dissipée par unité de surface de fissure est **constante**
- Le taux de relaxation d'énergie est **constant** pendant la progression de la fissure

$\exists G_C$  caractéristique de la dissipation surfacique dans la structure  
 $G = G_C$  pendant la progression de la fissure

# Hypothèses de la mécanique linéaire de la rupture

- Rappels et intégrale invariante de contour
- Hypothèse 1/3
- Dissipation globale lors de l'avancée d'une fissure
- Hypothèse 2/3
- **Hypothèse 3/3**
- Modélisation en mécanique linéaire de la rupture

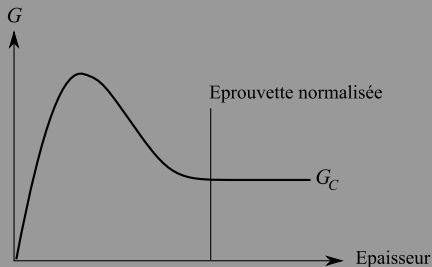
# Hypothèse 3/3

La zone d'élaboration est **indépendante de la structure**

- $G_C$  : une constante caractéristique du **matériau**
- $G_C$  : résistance à la fissuration du **matériau**
- $G_C$  : taux de relaxation d'énergie du **matériau**

# Hypothèse 3/3

- Validité de l'hypothèse 3 ?
- Eprouvettes normalisées pour la sécurité



- Microstructures variées selon la structure
- Mise en forme
- Cas des matériaux aléatoires (céramiques)

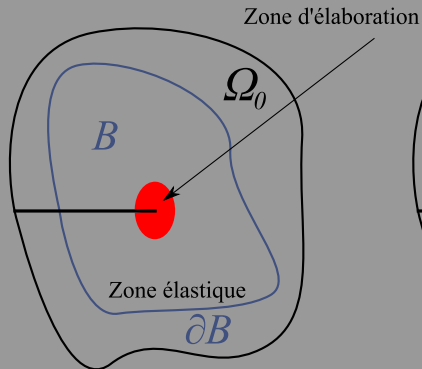


# Hypothèses de la mécanique linéaire de la rupture

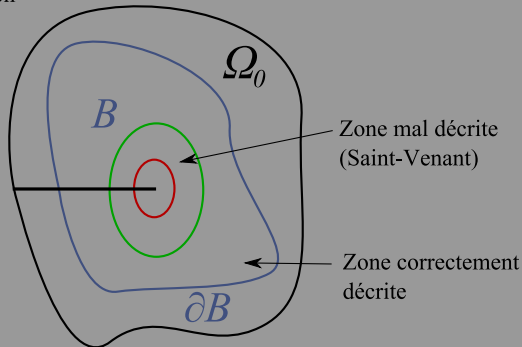
- Rappels et intégrale invariante de contour
- Hypothèse 1/3
- Dissipation globale lors de l'avancée d'une fissure
- Hypothèse 2/3
- Hypothèse 3/3
- **Modélisation en mécanique linéaire de la rupture**

# Modélisation en mécanique linéaire de la rupture

## Description non-linéaire



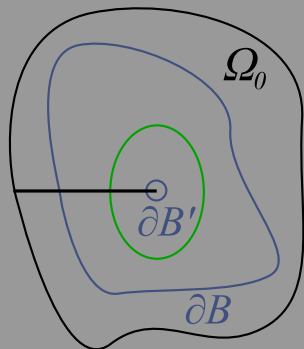
## Modélisation élastique



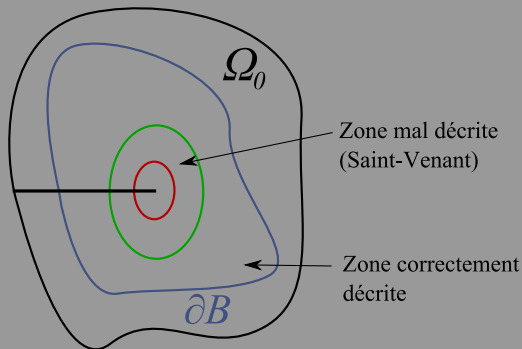
- Sur  $\partial B$  avec un modèle **purement élastique linéaire**  $G$  est **correctement calculé**

# Modélisation en mécanique linéaire de la rupture

## Modélisation élastique



## Modélisation élastique



- $G$  est **indépendante du contour** dans un domaine élastique
- Sur  $\partial B'$  avec un modèle **purement élastique linéaire**  $G$  est **correctement calculé**

# Modélisation en mécanique linéaire de la rupture

On peut calculer  $G$  à partir des champs du modèle linéaire dans le voisinage de l'extrémité de la fissure, bien que ces champs soient très différents, à cet endroit, des champs réels

- Sous réserve que les 3 hypothèses de la Mécanique Linéaire de la Rupture soient vérifiées

# Plan de le séance

- 1 Hypothèses de la mécanique linéaire de la rupture
- 2 Facteurs d'intensité de contrainte**
- 3 Rupture sous chargement monotone (ténacité)
- 4 Rupture sous chargement cyclique (loi de Paris)

# Facteurs d'intensité de contrainte

- Développement asymptotique
- Facteurs d'intensité de contrainte

# Développement asymptotique

- Equations d'équilibre en élasticité plane :  $\text{div} [\underline{\underline{\sigma}}] = 0$

$$\frac{\partial \sigma_{xx}}{\partial x} + \frac{\partial \sigma_{xy}}{\partial y} = 0 \quad \frac{\partial \sigma_{xy}}{\partial x} + \frac{\partial \sigma_{yy}}{\partial y} = 0$$

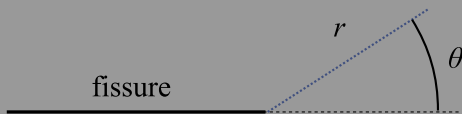
- Potentiel d'Airy

$$\sigma_{xx} = \frac{\partial^2 A}{\partial y^2} \quad \sigma_{xy} = -\frac{\partial^2 A}{\partial x \partial y} \quad \sigma_{yy} = \frac{\partial^2 A}{\partial x^2}$$

- Les équations de compatibilité de Beltrami-Mitchell donnent

$$\Delta \Delta A = 0$$

# Développement asymptotique



- Voisinage de la tête de fissure
- On cherche  $A$  sous la forme

$$A(r, \theta) = r^\alpha f(\theta)$$

- Laplacien

$$\Delta A = \frac{\partial^2 A}{\partial r^2} + \frac{1}{r} \frac{\partial A}{\partial r} + \frac{1}{r^2} \frac{\partial^2 A}{\partial \theta^2} = r^{\alpha-2} (\alpha^2 f(\theta) + f''(\theta))$$

- Bi-Laplacien

$$\Delta \Delta A = r^{\alpha-4} \left( \alpha^2 (\alpha - 2)^2 f(\theta) + ((\alpha - 2)^2 + \alpha^2) f''(\theta) + f^{(4)}(\theta) \right)$$



# Développement asymptotique

- Equation différentielle en  $\theta$

$$\left( \alpha^2(\alpha - 2)^2 f(\theta) + ((\alpha - 2)^2 + \alpha^2) f''(\theta) + f^{(4)}(\theta) \right) = 0$$

- Polynôme caractéristique

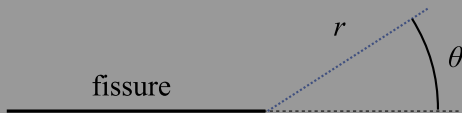
$$\begin{aligned} P(X) &= X^4 + ((\alpha - 2)^2 + \alpha^2) X^2 + \alpha^2(\alpha - 2)^2 \\ &= (X - i\alpha)(X + i\alpha)(X - i(\alpha - 2))(X + i(\alpha - 2)) \end{aligned}$$

- Solution

$$\begin{aligned} f(\theta) &= A_1 \cos(\alpha\theta) + A_2 \cos((\alpha - 2)\theta) \\ &\quad + A_3 \sin(\alpha\theta) + A_4 \sin((\alpha - 2)\theta) \end{aligned}$$

- On a 4 constantes à déterminer
- On a 4 conditions aux limites

# Développement asymptotique



- Conditions aux limites

$$\sigma_{xy}(\pi) = \sigma_{xy}(-\pi) = \sigma_{yy}(\pi) = \sigma_{yy}(-\pi) = 0$$

- Or

$$\sigma_{xy} = -\frac{\partial^2 A}{\partial x \partial y} \quad \sigma_{yy} = \frac{\partial^2 A}{\partial x^2}$$

- Conditions sur  $f(\theta)$

$$f(\pi) = f(-\pi) = f'(\pi) = f'(-\pi) = 0$$

# Développement asymptotique

- Conditions

$$\underbrace{\begin{pmatrix} \cos(\alpha\pi) & \cos((\alpha-2)\pi) & \sin(\alpha\pi) & \sin((\alpha-2)\pi) \\ \cos(\alpha\pi) & \cos((\alpha-2)\pi) & -\sin(\alpha\pi) & -\sin((\alpha-2)\pi) \\ -\alpha \sin(\alpha\pi) & -(\alpha-2) \sin((\alpha-2)\pi) & \alpha \cos(\alpha\pi) & (\alpha-2) \cos((\alpha-2)\pi) \\ \alpha \sin(\alpha\pi) & (\alpha-2) \sin((\alpha-2)\pi) & \alpha \cos(\alpha\pi) & (\alpha-2) \cos((\alpha-2)\pi) \end{pmatrix}}_{M(\alpha)} \cdot \begin{pmatrix} A_1 \\ A_2 \\ A_3 \\ A_4 \end{pmatrix} = \begin{pmatrix} 0 \\ 0 \\ 0 \\ 0 \end{pmatrix}$$

- Si la matrice  $M(\alpha)$  est inversible  $f(\theta) = 0$
- La matrice  $M(\alpha)$  n'est pas inversible pour certaines valeurs de  $\alpha$

$$\text{Det}[M(\alpha)] = 0$$

- Infinité de solutions : demi-entiers

$$\forall k \in \mathbb{Z}, \alpha_k = \frac{k}{2}$$

# Développement asymptotique

- $A$  est en  $r^\alpha$
- $\underline{\underline{\sigma}}$  et  $\underline{\underline{\varepsilon}}$  sont en  $r^{\alpha-2}$
- $\underline{\underline{\sigma}} : \underline{\underline{\varepsilon}}$  est en  $1/r^{-2(\alpha-2)}$
- Énergie au voisinage de la tête de fissure

$$\frac{1}{2} \int_0^r \int_{-\pi}^{\pi} \underline{\underline{\sigma}} : \underline{\underline{\varepsilon}} r dr d\theta$$

- Intégrabilité de l'énergie élastique en  $r \rightarrow 0$

$$-2\alpha + 3 < 1 \Rightarrow \alpha > 1$$

- Solution la plus singulière avec énergie intégrable

$$\alpha = \frac{3}{2} \Rightarrow \underline{\underline{\sigma}} \simeq \frac{1}{\sqrt{r}}$$

- Termes moins singuliers en  $\alpha_k = k/2$  avec  $k \geq 4$  **négligeables**

$$(\sqrt{r})^{(k-4)} \ll \frac{1}{\sqrt{r}}$$

# Facteurs d'intensité de contrainte

- Développement asymptotique
- Facteurs d'intensité de contrainte

# Facteurs d'intensité de contrainte

- Solution la plus singulière en plan : Westergaard

$$\begin{aligned}\sigma_{xx} &= \frac{K_I}{\sqrt{2\pi r}} \cos\left(\frac{\theta}{2}\right) \left(1 - \sin\left(\frac{\theta}{2}\right) \sin\left(\frac{3\theta}{2}\right)\right) - \frac{K_{II}}{\sqrt{2\pi r}} \sin\left(\frac{\theta}{2}\right) \left(2 + \cos\left(\frac{\theta}{2}\right) \cos\left(\frac{3\theta}{2}\right)\right) \\ \sigma_{xy} &= \frac{K_I}{\sqrt{2\pi r}} \sin\left(\frac{\theta}{2}\right) \cos\left(\frac{\theta}{2}\right) \cos\left(\frac{3\theta}{2}\right) + \frac{K_{II}}{\sqrt{2\pi r}} \cos\left(\frac{\theta}{2}\right) \left(1 - \sin\left(\frac{\theta}{2}\right) \sin\left(\frac{3\theta}{2}\right)\right) \\ \sigma_{yy} &= \frac{K_I}{\sqrt{2\pi r}} \cos\left(\frac{\theta}{2}\right) \left(1 + \sin\left(\frac{\theta}{2}\right) \sin\left(\frac{3\theta}{2}\right)\right) + \frac{K_{II}}{\sqrt{2\pi r}} \sin\left(\frac{\theta}{2}\right) \cos\left(\frac{\theta}{2}\right) \cos\left(\frac{3\theta}{2}\right)\end{aligned}$$

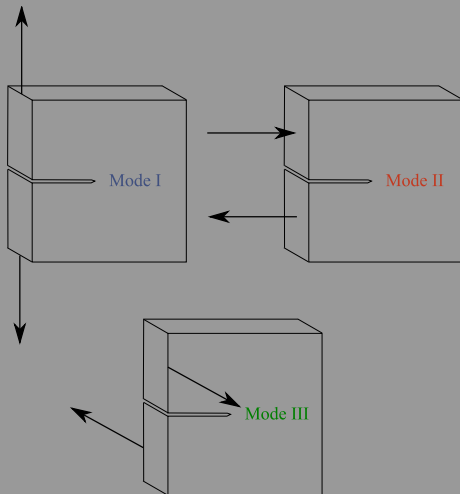
- Solution la plus singulière en anti-plan

$$\sigma_{xz} = -\frac{K_{III}}{\sqrt{2\pi r}} \sin\left(\frac{\theta}{2}\right) \quad \sigma_{yz} = \frac{K_{III}}{\sqrt{2\pi r}} \cos\left(\frac{\theta}{2}\right)$$

- Notion de facteurs d'intensité de contrainte :  $K_I$ ,  $K_{II}$  et  $K_{III}$

# Facteurs d'intensité de contrainte

- Notion de mode



# Facteurs d'intensité de contrainte

- Définition des facteurs d'intensité de contrainte

$$K_I = \lim_{r \rightarrow 0} \left[ \sigma_{yy}(r, \theta) \sqrt{2\pi r} \right]$$

$$K_{II} = \lim_{r \rightarrow 0} \left[ \sigma_{xy}(r, \theta) \sqrt{2\pi r} \right]$$

$$K_{III} = \lim_{r \rightarrow 0} \left[ \sigma_{yz}(r, \theta) \sqrt{2\pi r} \right]$$



# Plan de le séance

- 1 Hypothèses de la mécanique linéaire de la rupture
- 2 Facteurs d'intensité de contrainte
- 3 Rupture sous chargement monotone (ténacité)**
- 4 Rupture sous chargement cyclique (loi de Paris)

# Rupture sous chargement monotone (ténacité)

- Loi d'Irwin et ténacité
- Catalogue de facteurs d'intensité de contrainte

# Loi d'Irwin et ténacité

- Taux de relaxation d'énergie (indépendant du contour)

$$G = \int_{\partial B} \left( \rho \Psi n_1 - \underline{\underline{\sigma}} \cdot \underline{\underline{n}} \cdot \frac{\partial \underline{\underline{u}}}{\partial X_1} \right) dS$$

- Loi d'Irwin (1948)

$$G = \frac{1 - \nu^2}{E} (K_I^2 + K_{II}^2 + K_{III}^2)$$

- Critère énergétique de propagation

$$G = G_C$$

- Les facteurs d'intensité de contraintes n'ont pas de sens physique
- Mais sont utiles pour déterminer la propagation d'une fissure

# Loi d'Irwin et ténacité

- Ouverture en mode I

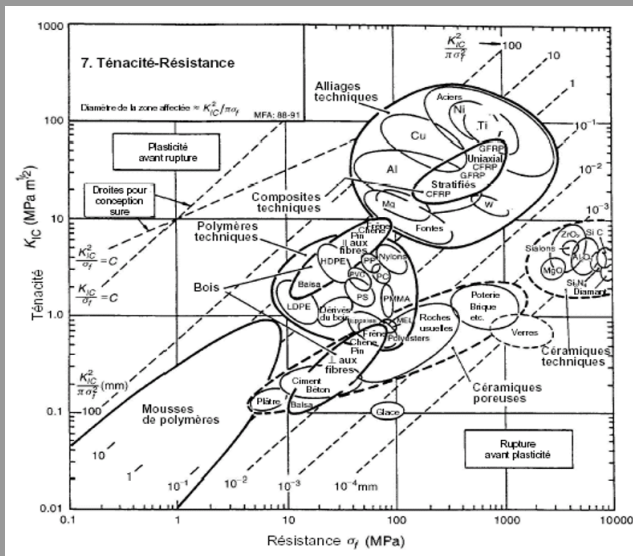
$$K_I = K_{IC}$$

- $K_{IC}$  est la ténacité
- Caractéristique matériau de résistance à la fissuration sous chargement monotone





# Loi d'Irwin et ténacité

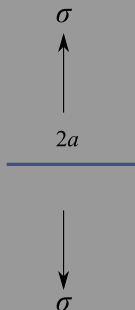


# Rupture sous chargement monotone (ténacité)

- Loi d'Irwin et ténacité
- Catalogue de facteurs d'intensité de contrainte



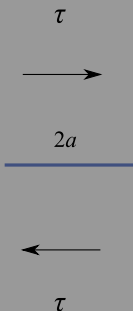
# Catalogue de facteurs d'intensité de contrainte



- Démontré au cours 3

$$\boxed{K_I = \sigma \sqrt{\pi a}} \quad \sigma_C = \frac{K_{IC}}{\sqrt{\pi a}}$$

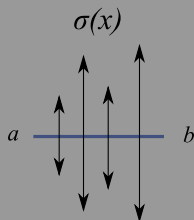
# Catalogue de facteurs d'intensité de contrainte



- Démontré au cours 3

$$K_{II} = \tau\sqrt{\pi a}$$

# Catalogue de facteurs d'intensité de contrainte



- Démontré au cours 3

$$K_I(a) = \sqrt{\frac{2}{\pi(b-a)}} \int_a^b \sigma(x) \sqrt{\frac{b-x}{x-a}} dx$$

$$K_I(b) = \sqrt{\frac{2}{\pi(b-a)}} \int_a^b \sigma(x) \sqrt{\frac{x-a}{b-x}} dx$$

# Catalogue de facteurs d'intensité de contrainte

$$K_I(a) = \sqrt{\frac{2}{\pi(b-a)}} \int_a^b \sigma(x) \sqrt{\frac{b-x}{x-a}} dx$$

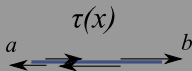
$$K_I(b) = \sqrt{\frac{2}{\pi(b-a)}} \int_a^b \sigma(x) \sqrt{\frac{x-a}{b-x}} dx$$

- Cas particulier  $b = a$  et  $a = -a$  et  $\sigma(x) = \sigma$

$$K_I(-a) = \sqrt{\frac{1}{\pi a}} \sigma \underbrace{\int_{-a}^a \sqrt{\frac{a-x}{x+a}} dx}_{\pi a} = \sigma \sqrt{\pi a}$$

$$K_I(a) = \sqrt{\frac{1}{\pi a}} \sigma \underbrace{\int_{-a}^a \sqrt{\frac{x+a}{a-x}} dx}_{\pi a} = \sigma \sqrt{\pi a}$$

# Catalogue de facteurs d'intensité de contrainte

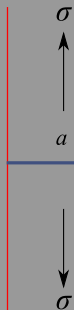


- Démontré au cours 3

$$K_{II}(a) = \sqrt{\frac{2}{\pi(b-a)}} \int_a^b \tau(x) \sqrt{\frac{b-x}{x-a}} dx$$

$$K_{II}(b) = \sqrt{\frac{2}{\pi(b-a)}} \int_a^b \tau(x) \sqrt{\frac{x-a}{b-x}} dx$$

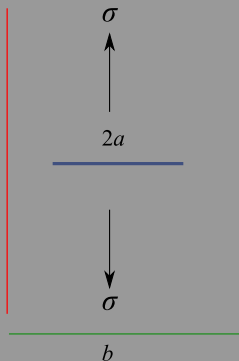
# Catalogue de facteurs d'intensité de contrainte



- Perturbation liée au bord libre
- Solution de Koiter (1965)

$$K_I = 1.122\sigma\sqrt{\pi a}$$

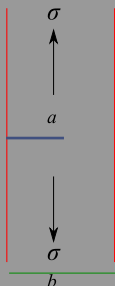
# Catalogue de facteurs d'intensité de contrainte



- Perturbation liée aux bords libres
- Solution de Isida (1973)

$$\boxed{K_I = F \left( \frac{a}{b} \right) \sigma \sqrt{\pi a}} \quad F \left( \frac{a}{b} \right) = \frac{\left( 1 - 0.025 \left( \frac{a}{b} \right)^2 + 0.06 \left( \frac{a}{b} \right)^4 \right)}{\sqrt{\cos \left( \frac{\pi a}{2b} \right)}}$$

# Catalogue de facteurs d'intensité de contrainte



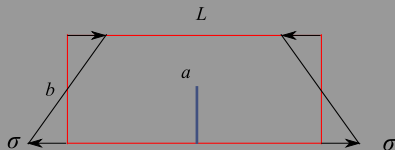
- Perturbation liée aux bords libres
- Solution de Tada (1970)

$$\boxed{K_I = F \left( \frac{a}{b} \right) \sigma \sqrt{\pi a}} \quad F \left( \frac{a}{b} \right) \simeq 1.122 \left( 1 - \frac{a}{b} \right)^{-3/2}$$

$$F \left( \frac{a}{b} \right) = \frac{\sqrt{\frac{2b}{\pi a} \tan \left( \frac{\pi a}{2b} \right)}}{\cos \left( \frac{\pi a}{2b} \right)} \left( 0.752 + 2.02 \frac{a}{b} + 0.37 \left( 1 - \sin \left( \frac{\pi a}{2b} \right) \right)^3 \right)$$



# Catalogue de facteurs d'intensité de contrainte



- Poutre fissurée
- Solution de Brown (1966)

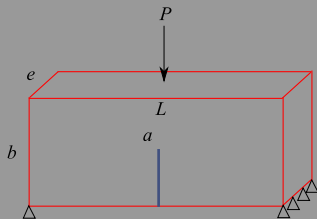
$$K_I = F\left(\frac{a}{b}\right) \sigma \sqrt{\pi a}$$

- Où

$$F\left(\frac{a}{b}\right) = \left(1.122 - 1.4\left(\frac{a}{b}\right) + 7.32\left(\frac{a}{b}\right)^2 - 13.08\left(\frac{a}{b}\right)^3 + 14\left(\frac{a}{b}\right)^4\right)$$

- Avec  $\frac{L}{b} > 4$        $\frac{a}{b} < 0.6$

# Catalogue de facteurs d'intensité de contrainte



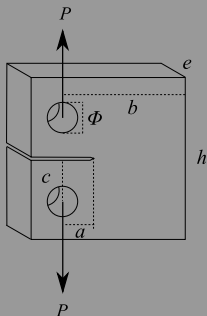
- Poutre fissurée
- Solution de Brown (1966) pour  $L/b > 8$

$$K_I = \frac{3PL\sqrt{a}}{2b^2e} \left( 1.96 - 2.75 \left( \frac{a}{b} \right) + 13.66 \left( \frac{a}{b} \right)^2 - 23.98 \left( \frac{a}{b} \right)^3 + 25.22 \left( \frac{a}{b} \right)^4 \right)$$

- Solution de Brown (1966) pour  $L/b > 4$

$$K_I = \frac{3PL\sqrt{a}}{2b^2e} \left( 1.93 - 3.07 \left( \frac{a}{b} \right) + 14.53 \left( \frac{a}{b} \right)^2 - 25.11 \left( \frac{a}{b} \right)^3 + 25.80 \left( \frac{a}{b} \right)^4 \right)$$

# Catalogue de facteurs d'intensité de contrainte



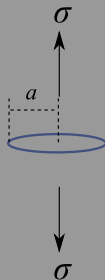
- Eprouvette standardisée
- Solution de Wessel

$$K_I = \frac{P\sqrt{a}}{be} \left( 29.6 - 185.5 \left(\frac{a}{b}\right) + 655.7 \left(\frac{a}{b}\right)^2 - 1017 \left(\frac{a}{b}\right)^3 + 638.9 \left(\frac{a}{b}\right)^4 \right)$$

- Avec les contraintes

$$h = 1.2b \quad a \in [0.3b, 0.7b] \quad c = 0.275b \quad \Phi = 0.25b \quad e = 0.5b$$

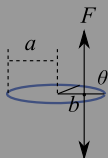
# Catalogue de facteurs d'intensité de contrainte



- Fissure Penny-shaped
- Démontré au cours 4
- Solution de Sih (1973)

$$K_I = 2\sigma \sqrt{\frac{a}{\pi}}$$

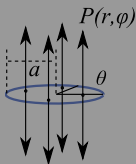
# Catalogue de facteurs d'intensité de contrainte



- Fissure Penny-shaped
- Démonstré au cours 4
- Solution de Bueckner (1970)

$$K_I(\theta) = \frac{F\sqrt{a^2 - b^2}}{\pi\sqrt{\pi a} (a^2 + b^2 - 2ab \cos(\theta))}$$

# Catalogue de facteurs d'intensité de contrainte



- Fissure Penny-shaped
- Démontré au cours 4
- Solution de Bueckner (1970)

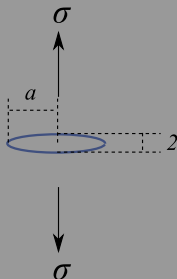
$$K_I(\theta) = \int_0^{2\pi} \int_0^a \frac{p(r, \varphi) \sqrt{a^2 - r^2}}{\pi \sqrt{\pi a} (a^2 + r^2 - 2ar \cos(\theta - \varphi))} r dr d\varphi$$

# Catalogue de facteurs d'intensité de contrainte

- Cas particulier  $p(r, \varphi) = \sigma$

$$\begin{aligned} K_I(\theta) &= \int_0^{2\pi} \int_0^a \frac{\sigma \sqrt{a^2 - r^2}}{\pi \sqrt{\pi a} (a^2 + r^2 - 2ar \cos(\theta - \varphi))} r dr d\varphi \\ &= \int_0^a \frac{2\sigma}{\sqrt{\pi a} (a^2 - r^2)} r dr \\ &= 2\sigma \sqrt{\frac{a}{\pi}} \end{aligned}$$

# Catalogue de facteurs d'intensité de contrainte



- Fissure elliptique
- Solution de Kassir (1960)

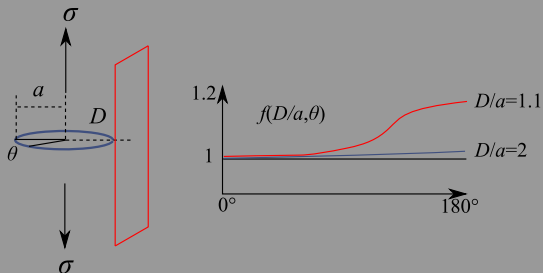
$$K_I(\theta) = \sqrt{\pi} \frac{\sigma}{E(h)} \sqrt{\frac{b}{a}} (a^2 \sin^2(\theta) + b^2 \cos^2(\theta))^{1/4}$$

- Où

$$h = \sqrt{1 - \frac{b^2}{a^2}} \quad E(h) = \int_0^{\frac{\pi}{2}} \left( \sqrt{1 - h^2 \sin^2(u)} \right) du$$



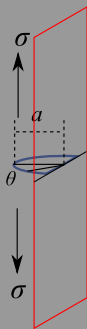
# Catalogue de facteurs d'intensité de contrainte



- Fissure Penny-shaped près d'un bord libre
- Solution de Smith (1971)

$$K_I = 2\sigma \sqrt{\frac{a}{\pi}} f\left(\frac{D}{a}, \theta\right)$$

# Catalogue de facteurs d'intensité de contrainte



- Demi-fissure Penny-shaped près d'un bord libre
- Solution de Hartranft (1973)

$$K_I(\theta) = 2\sigma \sqrt{\frac{a}{\pi}} f(\theta) \quad f(\theta) = 1.211 - 0.186\sqrt{\sin(\theta)}$$

- Où pour  $\theta \in [10, 170]$  (en degrés)

# Plan de le séance

- 1 Hypothèses de la mécanique linéaire de la rupture
- 2 Facteurs d'intensité de contrainte
- 3 Rupture sous chargement monotone (ténacité)
- 4 Rupture sous chargement cyclique (loi de Paris)

# Rupture sous chargement cyclique (loi de Paris)

- Principe de la rupture en fatigue
- Loi de Paris

# Principe de la rupture en fatigue

- Chargement cyclique
- Trous ou fissures **pré-existants**
- **A chaque cycle**
  - **Plasticité** augmente la taille des trous
  - Longueur des fissures augmente
  - **Pas de propagation** de fissure
- Les fissures atteignent une **taille critique**
- **Propagation** de fissure ( $G = G_C$ )

# Rupture sous chargement cyclique (loi de Paris)

- Principe de la rupture en fatigue
- **Loi de Paris**

# Loi de Paris

- $N$  nombre de cycles
- $dN$  : incrément de cycle

$$N = \int dN$$

- $da$  : incrément de longueur de fissure à chaque cycle
- $\Delta K_I(a)$  : amplitude du facteur d'intensité de contrainte dans un cycle
- Loi de Paris

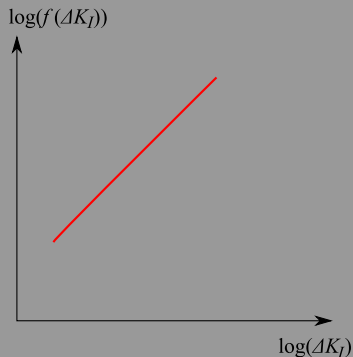
$$da = f(\Delta K_I(a))dN$$

# Loi de Paris

- Loi puissance

$$f(\Delta K_I(a)) = \alpha (\Delta K_I(a))^\beta$$

- $\beta$  varie de 2 à 10 suivant les matériaux
- $\beta$  est à peu près égal à 4 pour les aciers





# Loi de Paris

## Utilisation de la loi de Paris

- $a_0$  : taille initiale de fissure
- $a_C$  : taille critique de fissure telle que  $K_I^{max} = K_{IC}$
- $N_V$  : durée de vie (nombre de cycles rupture)

$$N_V = \int_{a_0}^{a_C} \frac{da}{f(\Delta K_I(a))}$$